

“缪子束加速和对撞机技术及其应用”论坛

## 缪子科学和多学科交叉应用

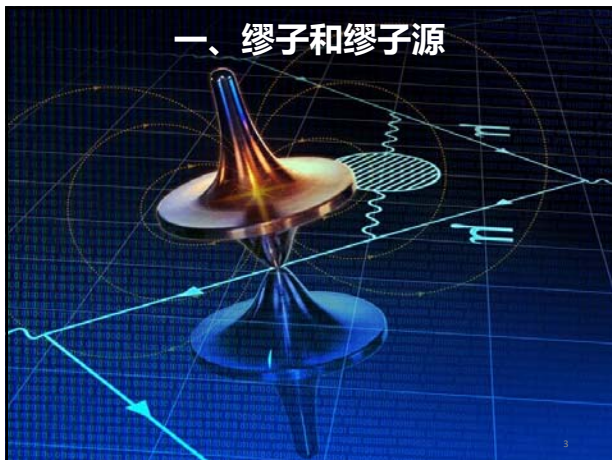
*Muon science and its multidisciplinary applications*

叶邦角  
中国科学技术大学

2022/04/16

## 目录

- 一、缪子和缪子源**
- 二、缪子与物质科学**
  - 缪子自旋谱学
  - 缪子原子X射线元素分析
  - 缪子催化聚变
- 三、缪子成像**
  - 宇宙线缪子成像
  - 缪子束透射成像
  - 缪子原子X射线成像
- 四、国内进展与展望**



Muons were discovered by **C.D. Anderson** in 1936

Carl David Anderson (1905-1991)

Leptons		charge	spin	mass	momentum	$\gamma / \gamma_0$	Lifetime ( $\mu s$ )
Tau	Neutrino	-1	0	$m_\tau = 0.51 \text{ MeV}$	$657 \mu_p$	2800	$\infty$
Muon	Neutrino	-1	0	$m_\mu = 105.7 \text{ MeV}$	$207 \mu_p$	13.5	2.19
Electron	Electron Neutrino	-1	0	$m_e = 0.51 \text{ MeV}$	$1836 \mu_p$	$\mu_p$	4.26

中国科学技术大学叶邦角

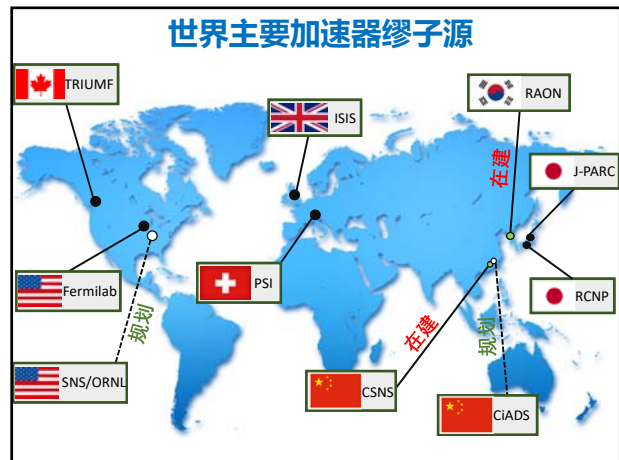
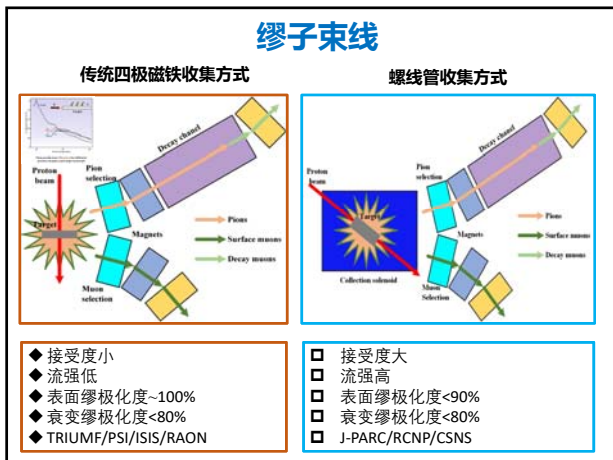
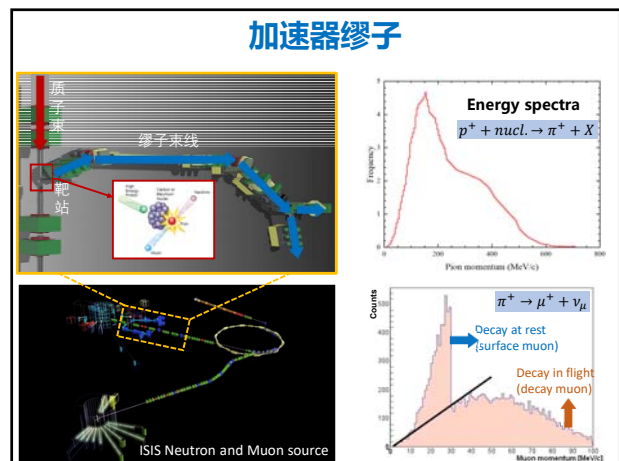
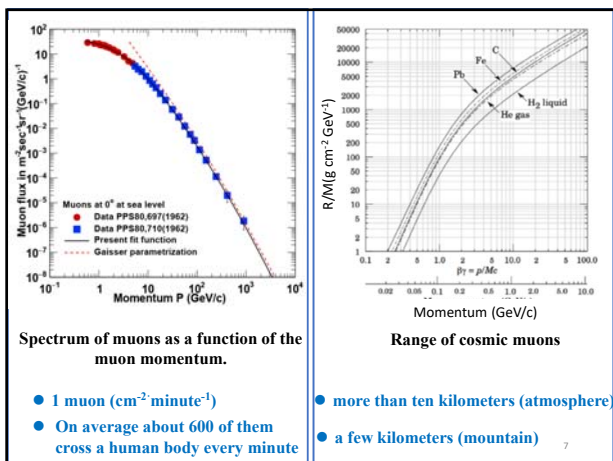
### Muon sources

GeV–TeV cosmic-ray muons	
GeV accelerator muons	
MeV muons	
eV–keV slow muons	

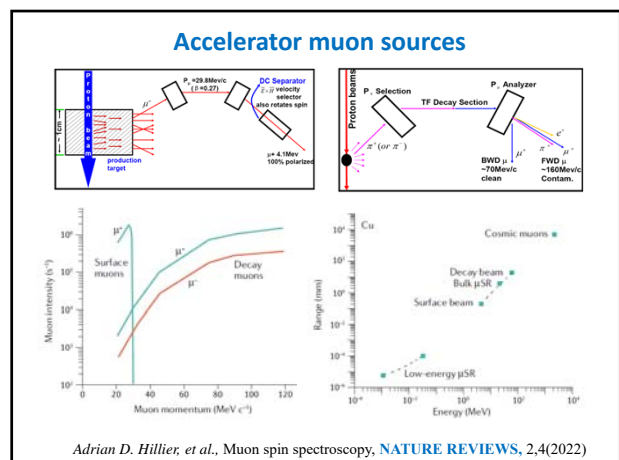
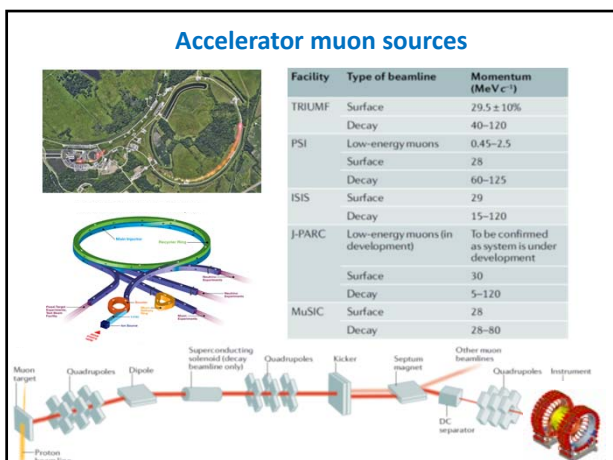
### 宇宙线缪子

$\pi^+ \rightarrow \mu^+ + \nu_\mu$   
 $\pi^- \rightarrow \mu^- + \bar{\nu}_\mu$

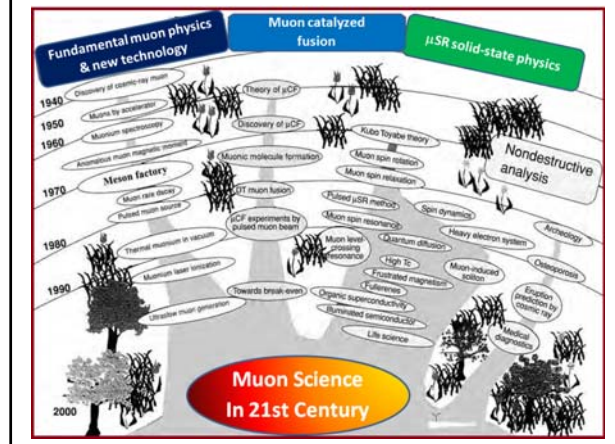
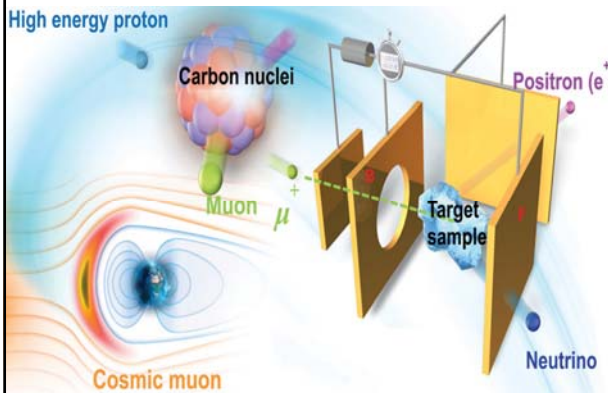
6



中国科学技术大学叶邦角



## 二、缪子与物质科学



缪子自旋谱学(muon spin rotation/relaxation/resonance, µSR)  
精确表征与物质微观磁性相关的静态或动态过程

缪子原子X射线元素分析(muonic X-ray elemental analysis)  
定量分析物质元素构成、浓度甚至化学状态

缪子催化聚变(muon-catalyzed fusion, µCF)  
利用负缪与核结合更紧密的优势使氘氚或氘氚在常温甚至低温下发生聚变。

### 1. 缪子自旋谱学技术与应用

Muons are implanted not scattered

Material being studied

Positron

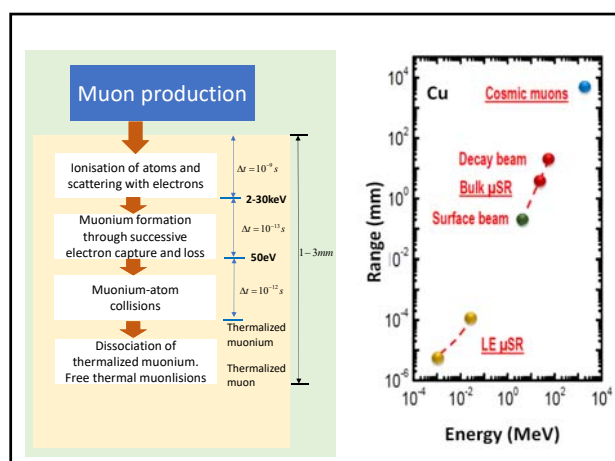
Muon decay with 2.6μ average lifetime

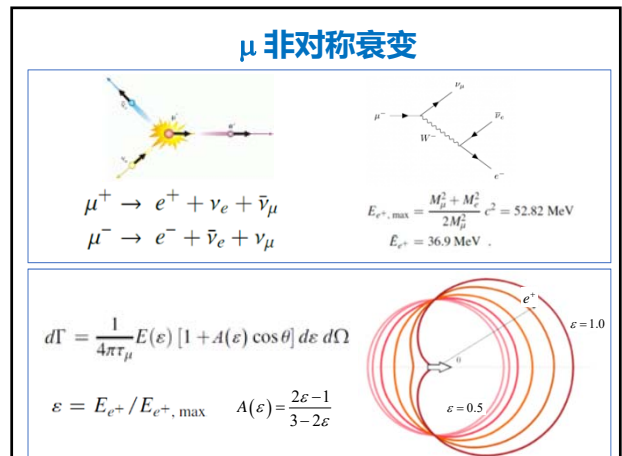
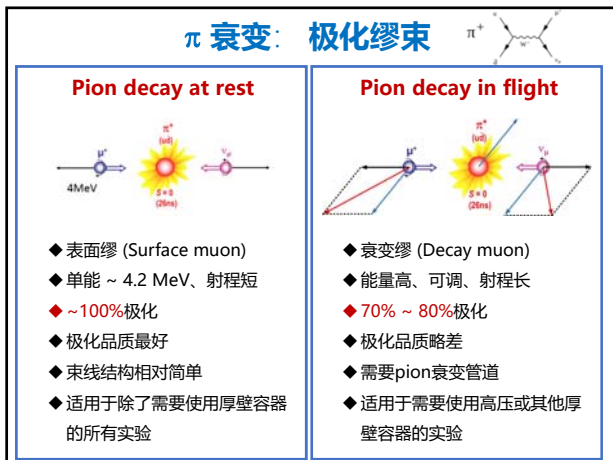
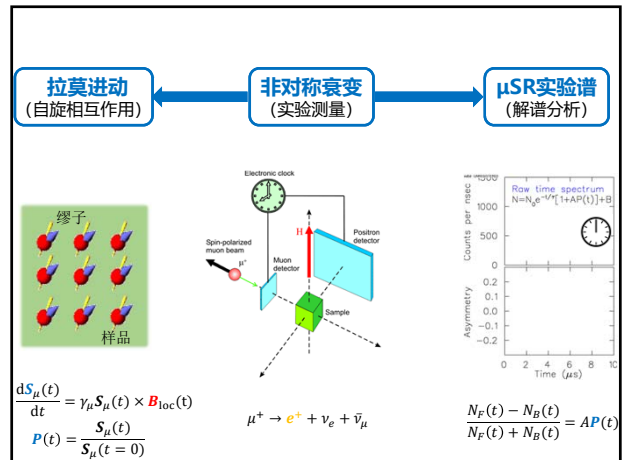
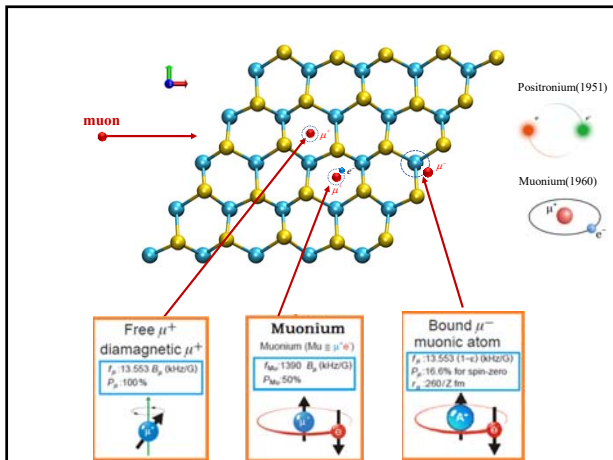
中国科学技术大学叶邦角

### What is µSR

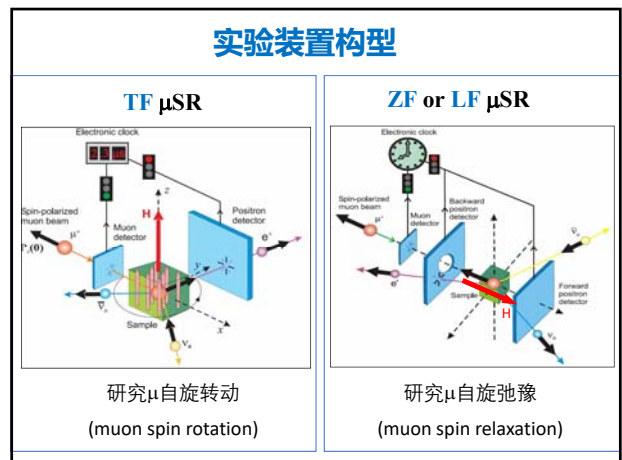
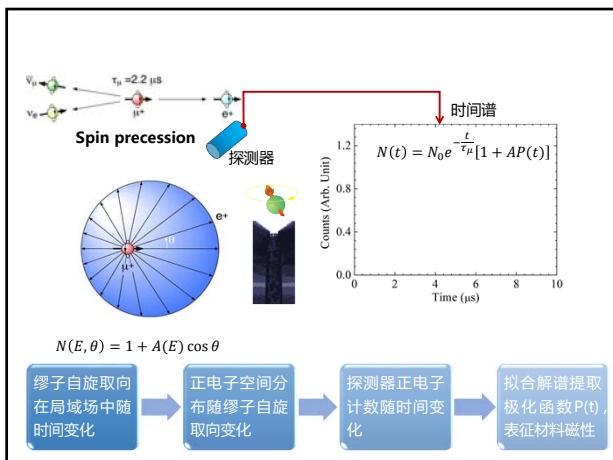
The acronym "µSR" was coined in 1974 in the µSR Newsletter:  
µSR stands for Muon Spin Relaxation, Rotation, Resonance, Research or what have you.

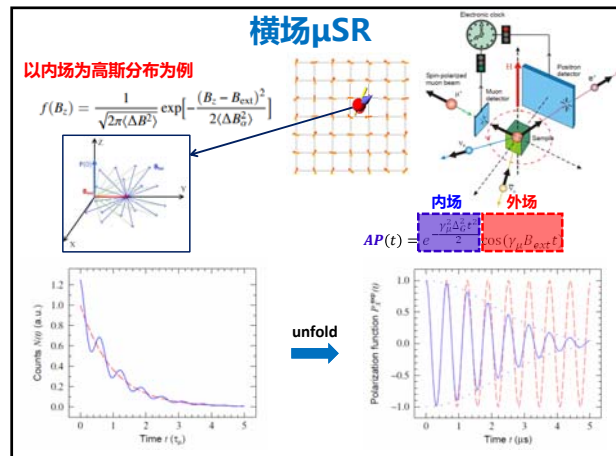
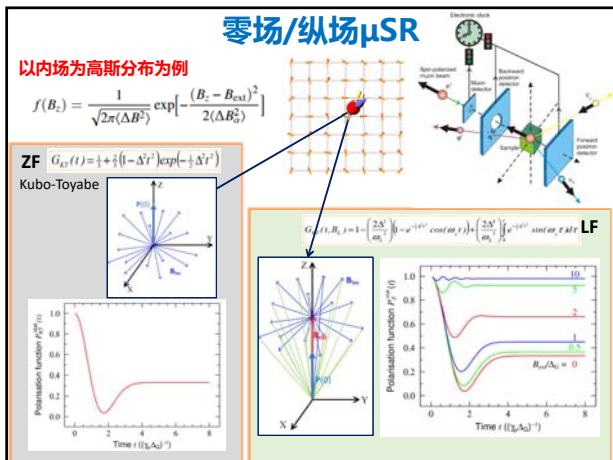
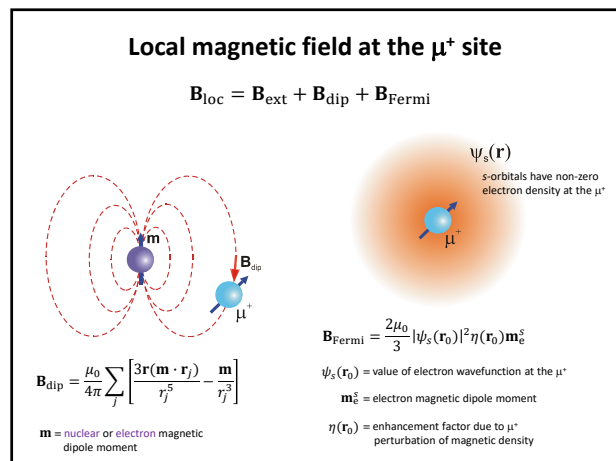
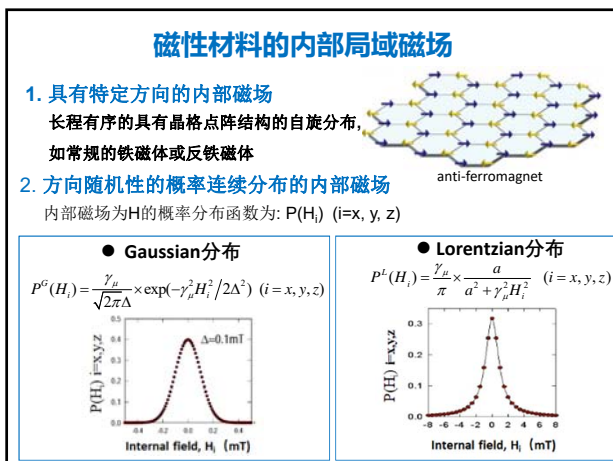
$\mu$ SR rotation relaxation resonance



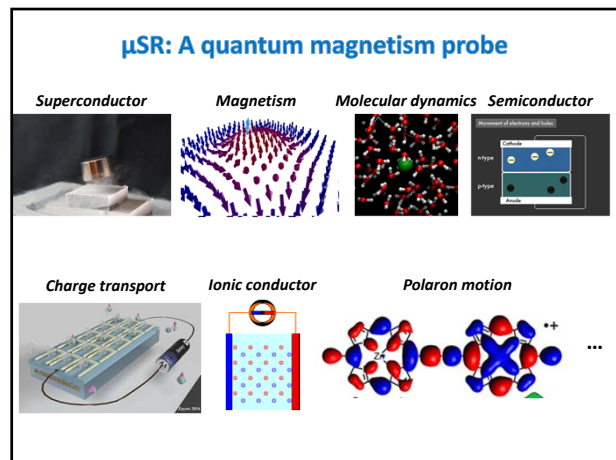
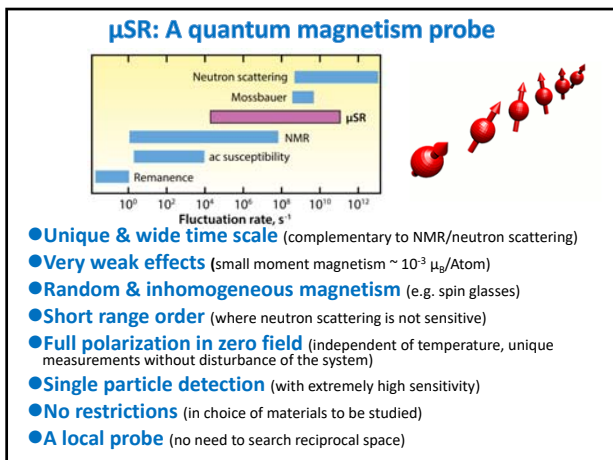


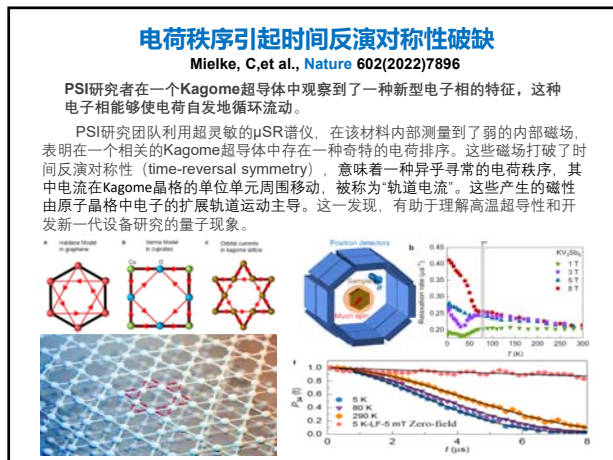
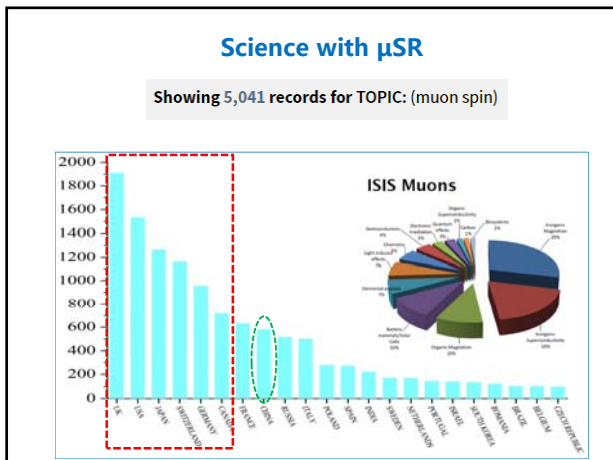
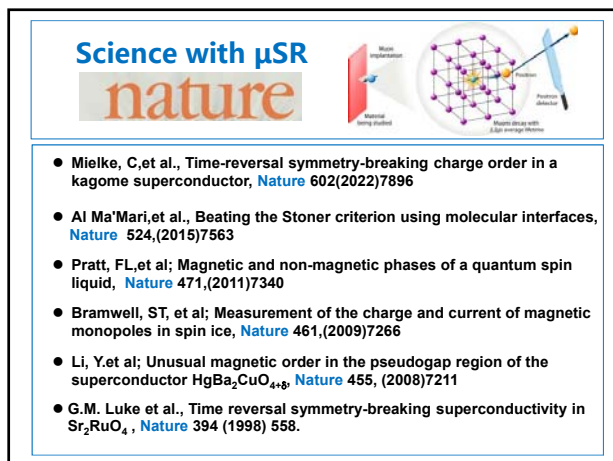
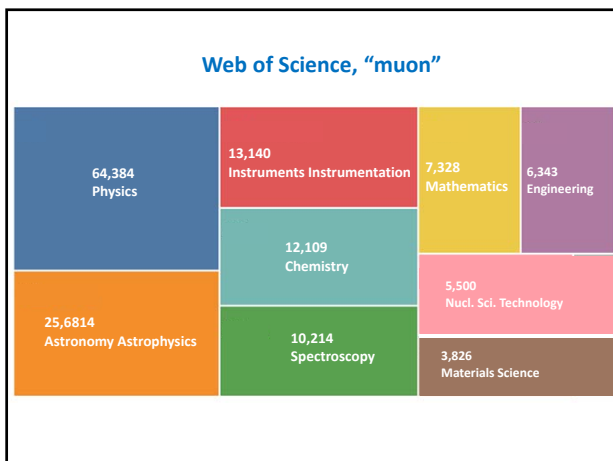
中国科学技术大学叶邦角



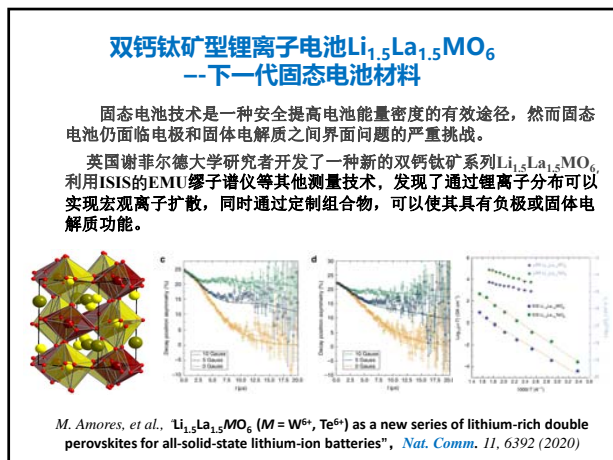
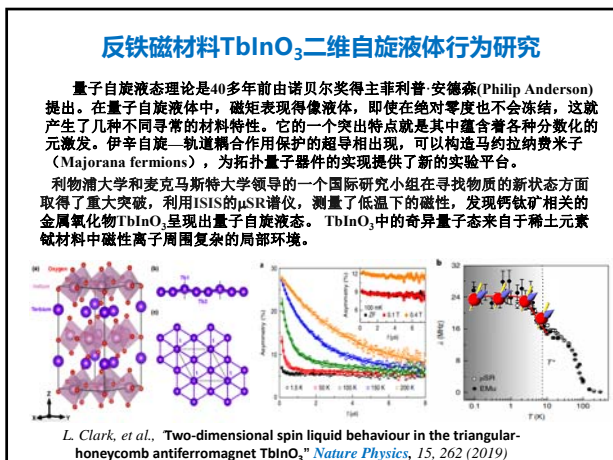


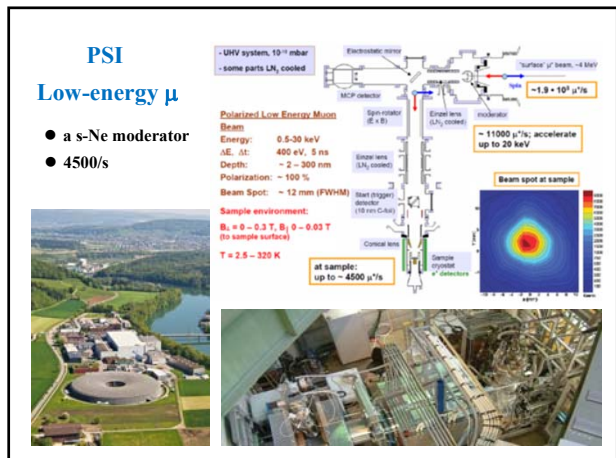
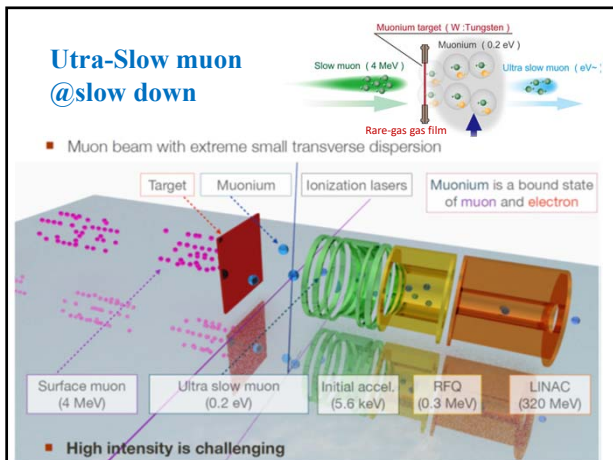
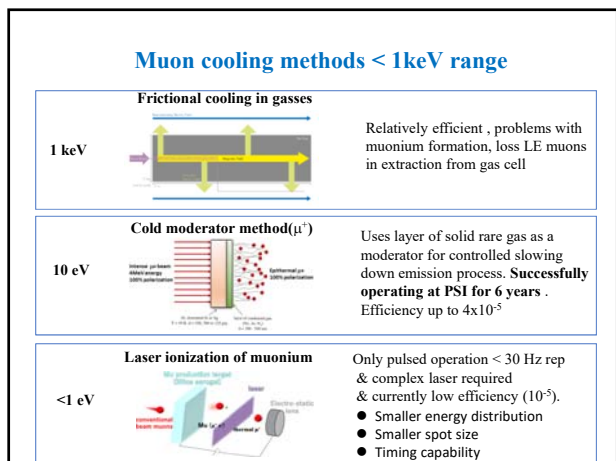
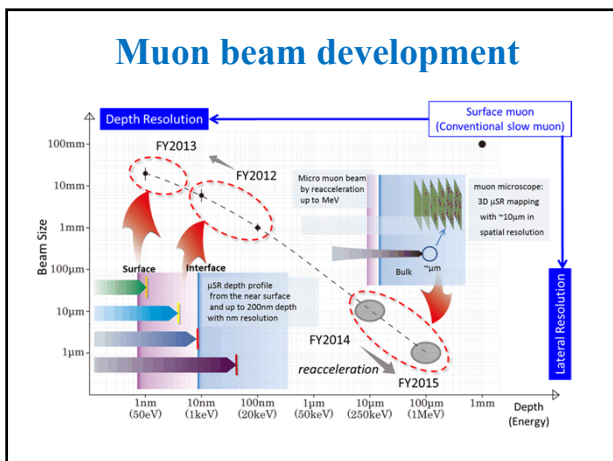
中国科学技术大学叶邦角



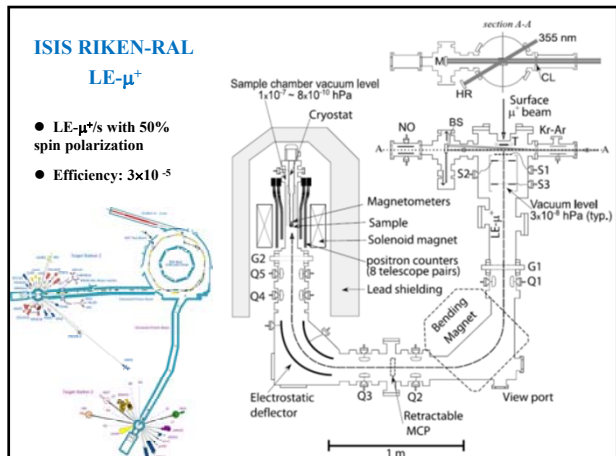
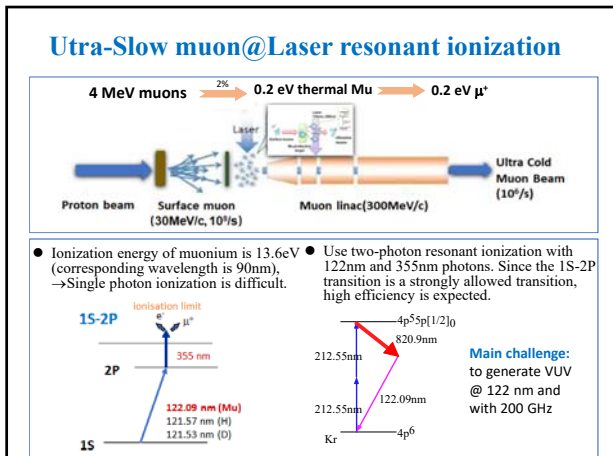


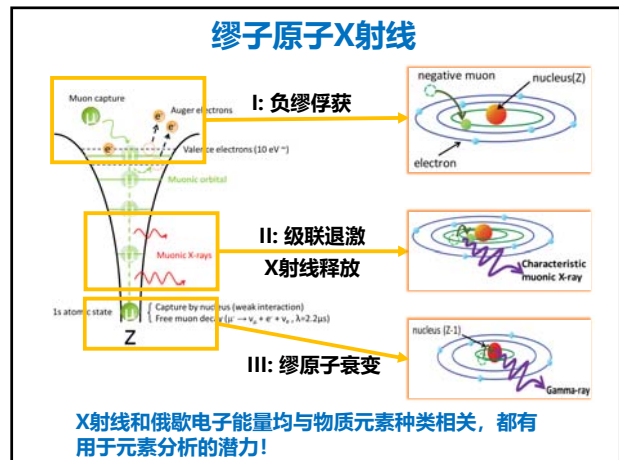
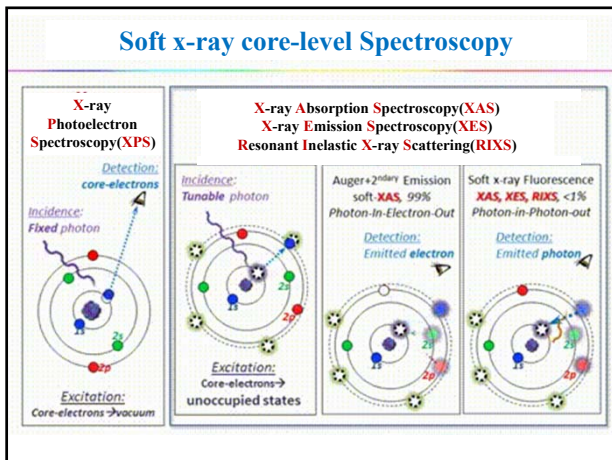
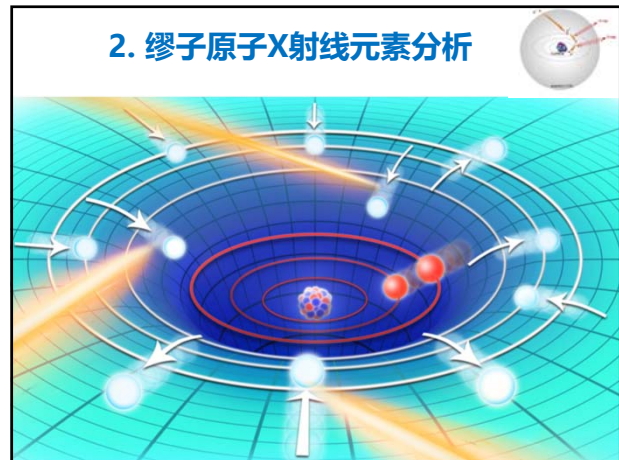
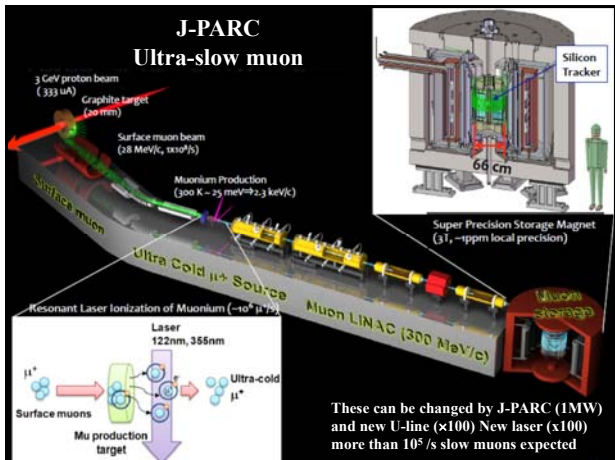
## 中国科学技术大学叶邦角



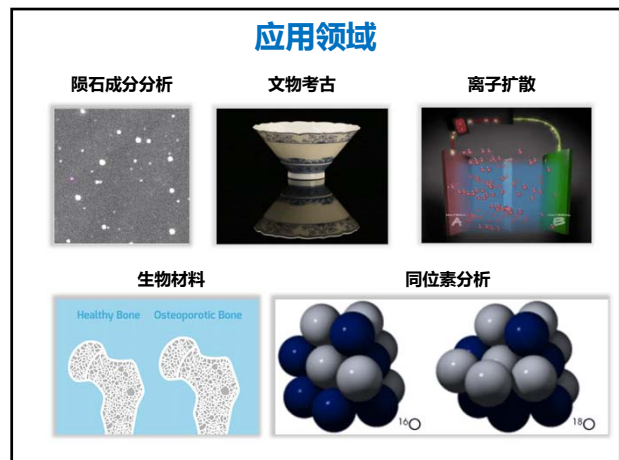
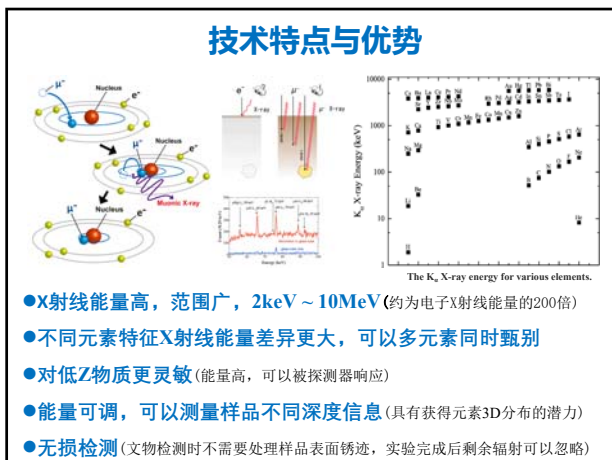


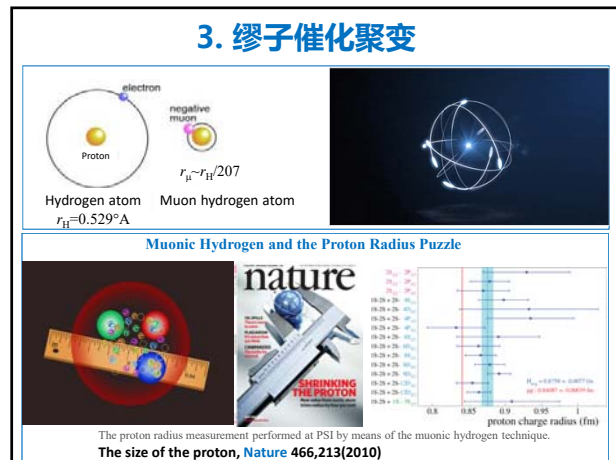
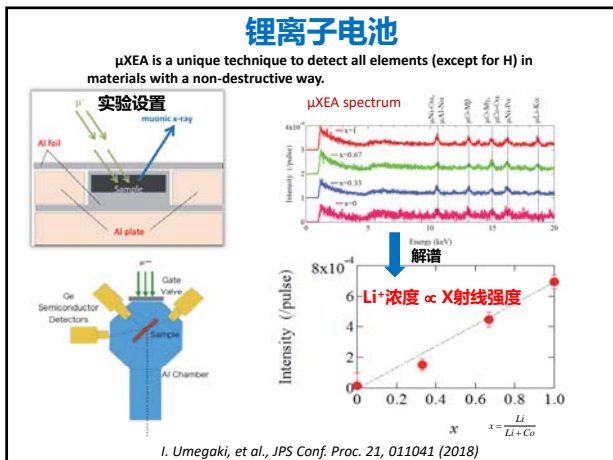
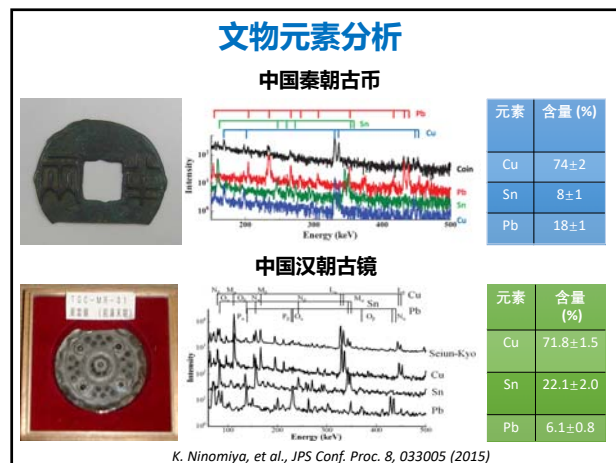
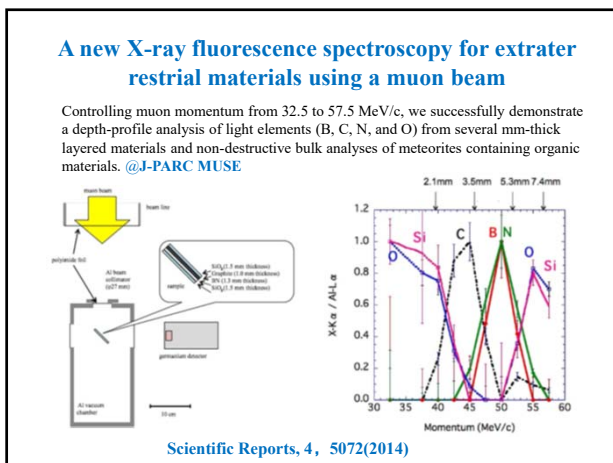
中国科学技术大学叶邦角



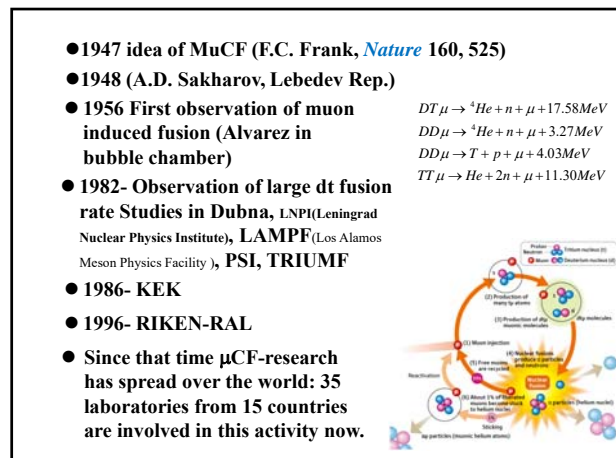
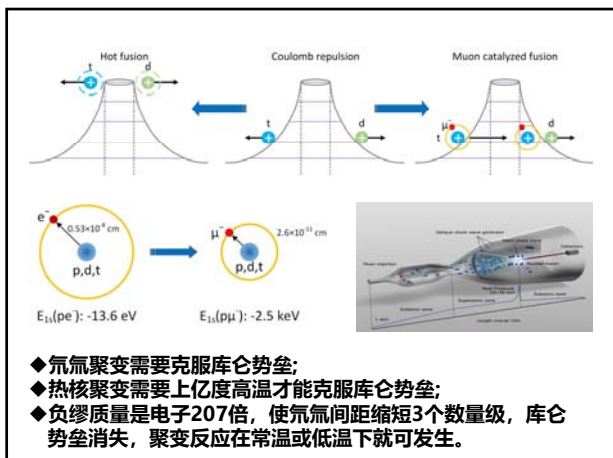


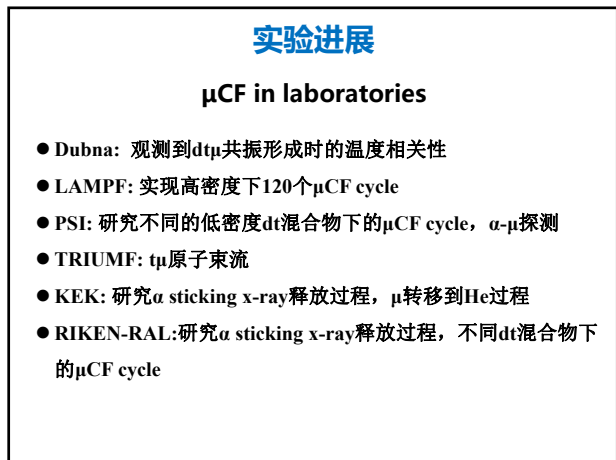
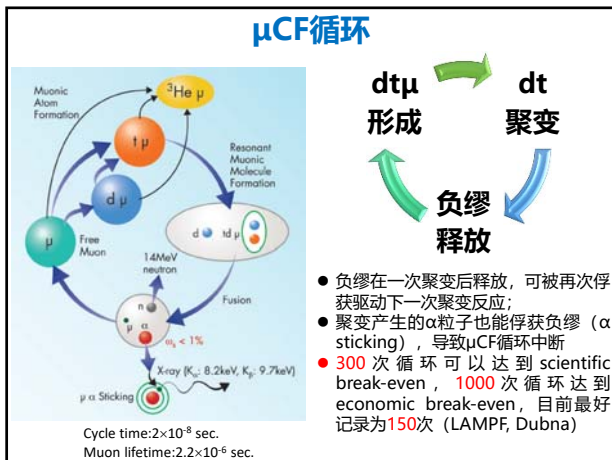
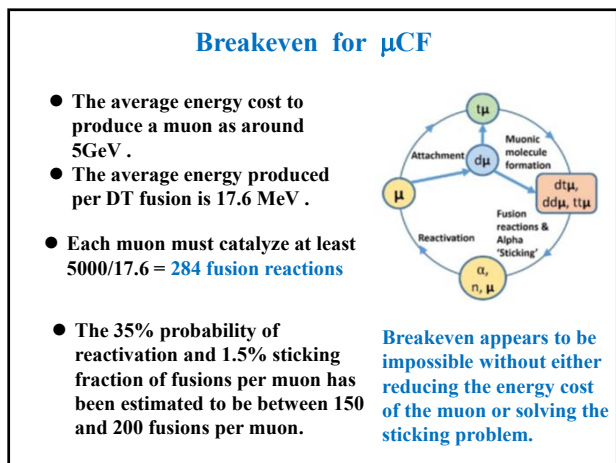
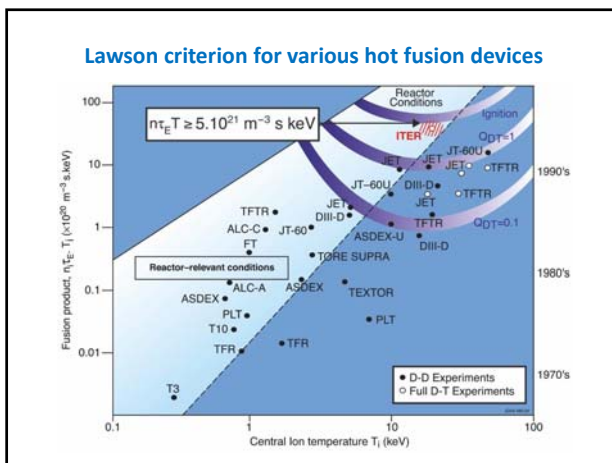
中国科学技术大学叶邦角



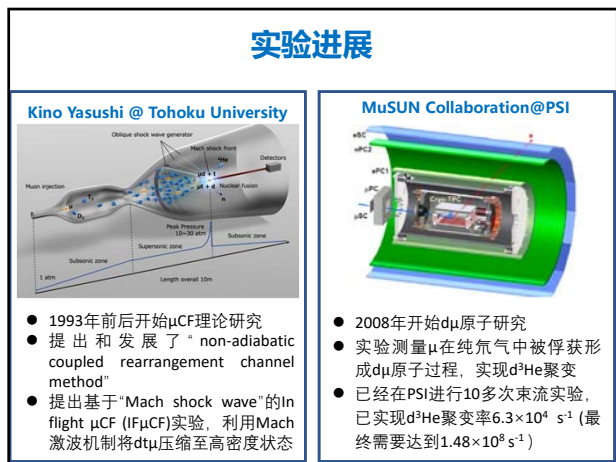
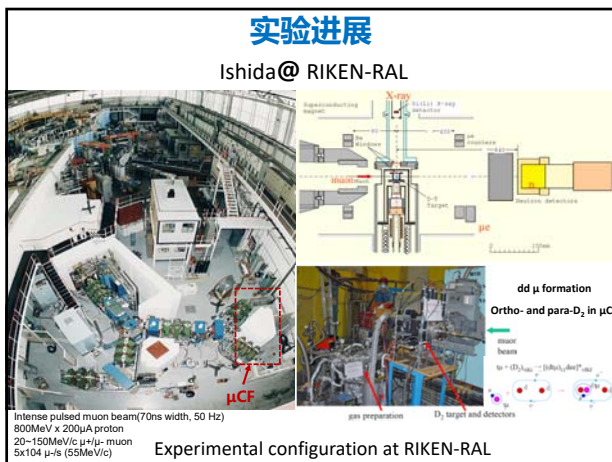


## 中国科学技术大学叶邦角





中国科学技术大学叶邦角



**The International Society for  $\mu$ S R Spectroscopy (ISMS)**

International  $\mu$ S R Conferences

- The 15<sup>th</sup>  $\mu$ S R 2020 (Parma) postponed to 2022.
- The 14<sup>th</sup>  $\mu$ S R 2017 (Sapporo)
- The 13<sup>th</sup>  $\mu$ S R 2014 (Grindelwald)
- The 12<sup>th</sup>  $\mu$ S R 2011 (Cancun)



**ISIS Muon Training School** (every two years, experiments)



**ISIS Muon Advanced School** (theory, applications)



**PSI Summer School on Condensed Matter Research**



**The Toshimitsu Yamazaki prize** (Since 2005)

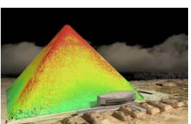


**The Young Scientist Award** (Since 2017)



**宇宙线缪子成像 (cosmic-ray muon imaging, muography)**

宇宙线缪子能量高、穿透能力强，是天然的非破坏性成像“探针”，可以对数个cm到数百米不同尺度物体成像。



**缪子束透射成像 (muon beam transmission imaging)**

缪子束流强度高、动量可调，通过测量其穿过物体不同质量厚度时强度衰减情况进行2D或3D精细成像。



**缪子原子X射线成像 (muonic X-ray imaging)**

原子核俘获负缪级联跃迁释放特征X射线，利用二维像素探测器可以对样品内元素空间分布进行成像测量。



### 1. 宇宙线缪子成像

**散射成像—缪子CT**

● Multiple Coulomb Scattering  
● Charged particles crossing material are deflected  
● The deviation angle (projected on a plane) has a Gaussian distribution

$$\sigma(\theta_0) = \frac{13.6 MeV}{\beta c p} \sqrt{\frac{x}{X_0}} \left( 1 + 0.038 \ln \frac{x}{X_0} \right)$$

**透射成像—缪子望远镜**

● Energy deposition of charged particles  
● Mass attenuation length following Beer-Lambert law

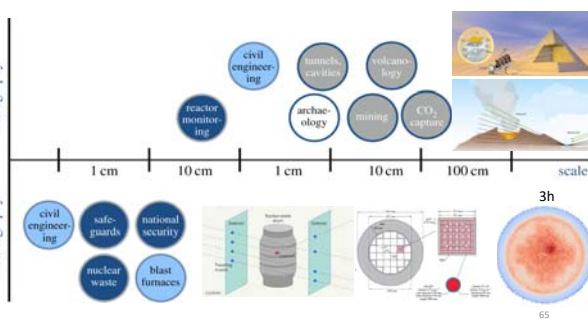
$$I = I_0 e^{-\mu x}$$

中国科学技术大学叶邦角

### 研究尺度

**Muography**

**Muon tomography (缪子CT)**  
**Muon radiography (缪子望远镜)**



**大型文化遗址无损考古：**重要古墓、重要历史遗址成像，提高历史文化遗产的研究水平。



**地质灾害监测：**活动火山监控、地震带活动监控、山体滑坡、大型水库坝体监测，提高自然灾害预警级别。



**二氧化碳地质封存监测：**高分辨成像及地层平均密度的在线测量，为CO2地质封存的监测提供一种全新的解决思路。



**国防装备监测：**核弹头监测、核走私监测，提高核与放射性材料的安保级别。



**核电安全运行及核燃料监测：**反应堆堆芯、核燃料存储、核材料开采和运输。



### 应用I: 大型文化遗址考古

Search for Hidden Chambers

**1970: L. W. Alvarez (1968 Nobel Prize)**  
"Search for hidden chambers in the pyramids using cosmic rays".  
**Science 167: 832**

**2017年, 日本和法国合作, 用宇宙线缪子透射成像的方法, 确定了胡夫金字塔内存在一个之前未被人们发现的隐藏墓室。**  
Discovery of a big void in Khufu's Pyramid by observation of cosmic-ray muons  
**Nature 552, 2017**

### 应用II: 地质灾害监测预警

Nature Caves Probing by Muography

1955年, 澳大利亚E. P. George用透射成像探测Guthega-Munyang隧道内部结构。  
2019年英国谢菲尔德大学用阵列探测器对Alfreton地下隧道进行扫描测量。  
1995年东大K. Nagamine用宇宙射线缪子对筑波山进行了测量。

**Spatial resolution: 4 mm  
Angular resolution: 50 arcsec**

### 应用II: 地质灾害监测预警

Using Muography to Predict Volcanic Eruptions

日本萨摩硫黄岛火山  
浅间火山  
法国多姆火山

瓜德罗普岛拉苏弗里埃火山  
研究人员正在摆放探测器阵列。

### 应用III: 二氧化碳地质封存监测

Ongoing monitoring carbon dioxide storage

宇宙线缪子透射成像技术能够实现地质结构的高分辨成像及地层平均密度的在线测量, 为CO<sub>2</sub>地质封存的监测提供了一种全新的解决思路: 利用已有的矿井, 将缪子探测器布放到地层深处(约1000米), 就可实现CO<sub>2</sub>封存状态的监测。

2012年, 英国谢菲尔德大学研究组提出可以使用宇宙射线缪子透射成像技术对封存的二氧化碳进行监测, 并于2014年在英国Boulby地矿进行了塑料闪烁体样机测试。  
A 0.4% change in the mean reservoir density (~7% of pore volume) could be detected at about 1 km depth in 1 year.

中国科学技术大学叶邦角

### 应用IV: 核材料监测

Inspection of Containers & Vehicles

2003年美国LANL国家实验室 美国DSC公司, 开发出了基于多种成像模式的被动探测系统。放射性核燃料贮存监测线缪子散射成像的原理样机。

2017年意大利INFN建立了集装箱宇宙射线缪子成像的监测平台。(几米的探测阵列, 角分辨10mrad)

### 应用V: 核燃料监测

Cosmic-ray muon to image inside reactors

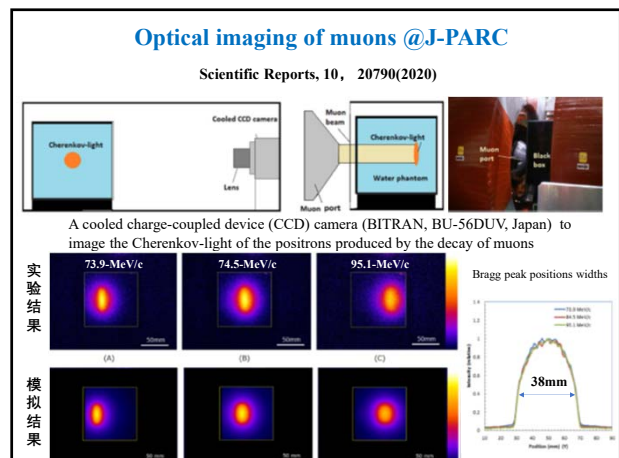
日本福岛核电站缪子成像

## 2. 缪子束透射成像

● 成像原理与宇宙线缪子CT类似，利用缪子束穿过物质时强度衰减的变化对物质进行成像

● 强度高，可以快速成像

● 动量可调，可以对不同深度进行成像



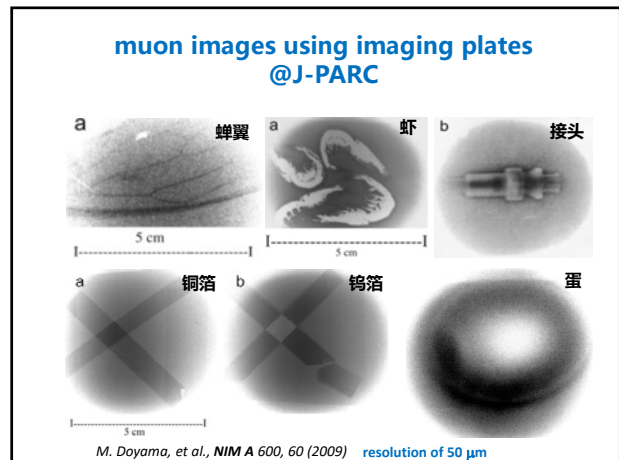
## 3. 缪子原子X射线成像

● 成像原理与SPECT类似，通过探测样品产生的缪子原子X射线成像；

● 成像方式有两种，即样品后直接放置探测器和侧边小孔成像；

● 强度高，可以快速成像；

● 动量可调，可以对不同深度进行成像。



中国科学技术大学叶邦角

**Non-destructive 3D imaging method using muonic X-rays**

日本大阪大学等研究者利用muonic X-rays(J-PARC)用double-sided strip detector探测器对块材的3D成像。

polypropylene (PP) balls

Sample sizes:  
 Large-1:  $\phi_{large-1} = 12.7 \text{ mm}$ ,  $\phi_{small-1} = 6.35 \text{ mm}$   
 Large-2:  $\phi_{large-2} = 14.14 \text{ mm}$ ,  $\phi_{small-2} = 7.62 \text{ mm}$

30 MeV/c 25-Hz pulses

Beam Collimator

Al stand

109 mm

109 mm

74 mm

25-Hz pulses

30 MeV/c

Large-1 Small-1

Large-2 Small-2

Small-1 Large-1

Small-2 Large-2

109 mm

74 mm

25-Hz pulses

30 MeV/c

Large-1 Small-1

Large-2 Small-2

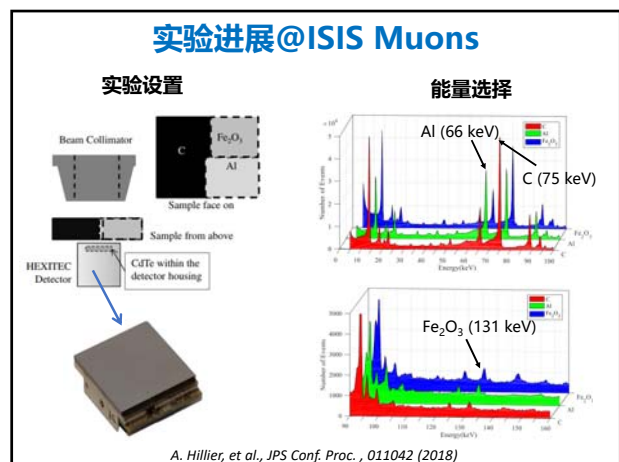
Small-1 Large-1

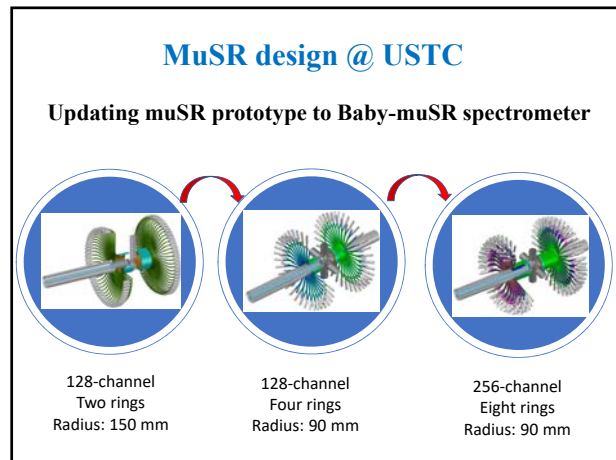
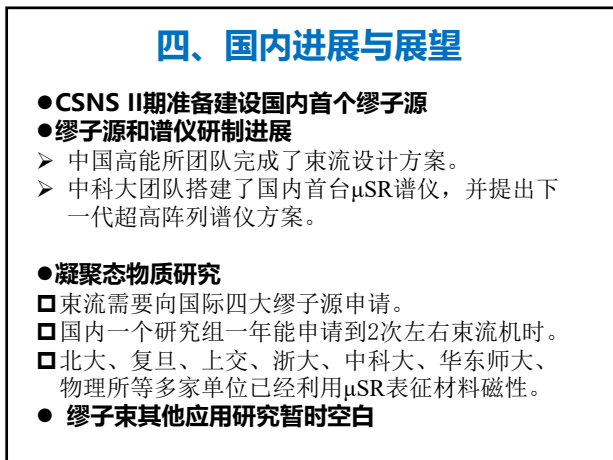
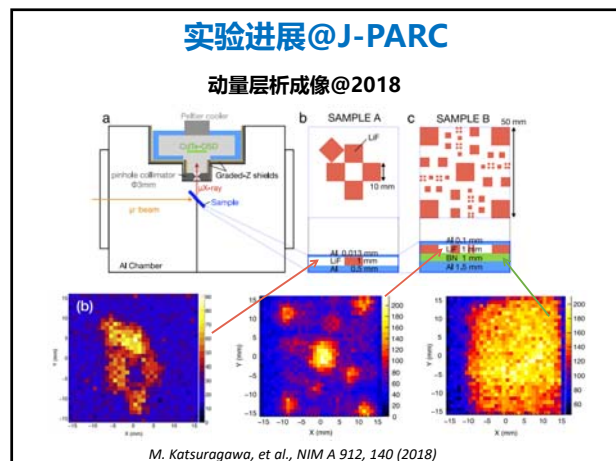
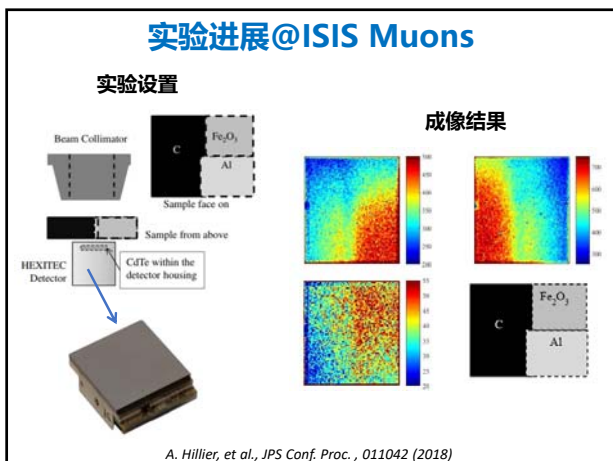
Small-2 Large-2

x direction (mm) y direction (mm) z direction (mm)

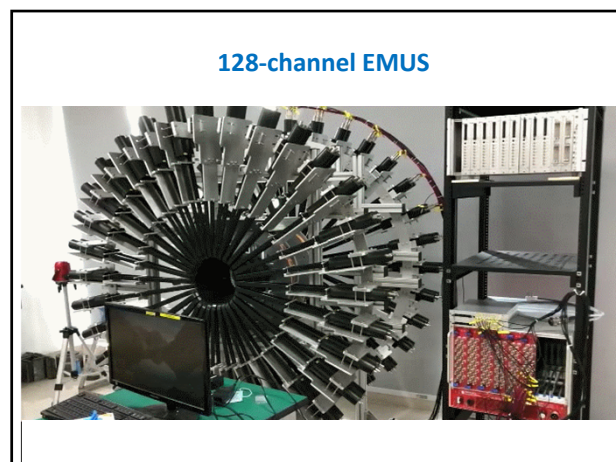
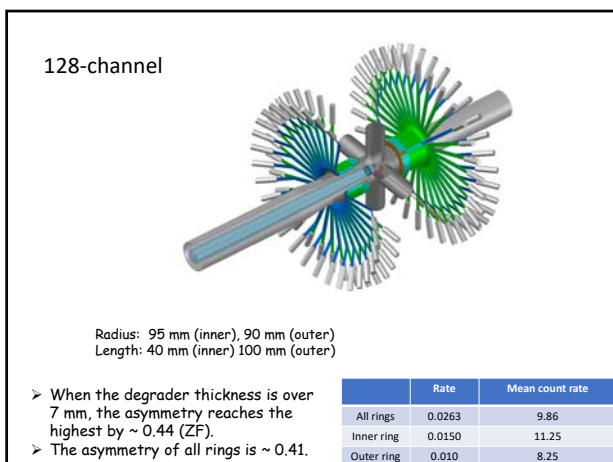
Name	Mean	FWHM	Mean	FWHM	Mean	FWHM
Large-1	29.38	7.98	20.98	10.52	23.80	3.29
Large-2	12.01	8.54	19.20	12.29	16.07	3.13
Small-1	22.31	6.61	9.97	4.91	21.72	3.96
Small-2	20.85	8.71	30.97	5.31	19.18	4.12

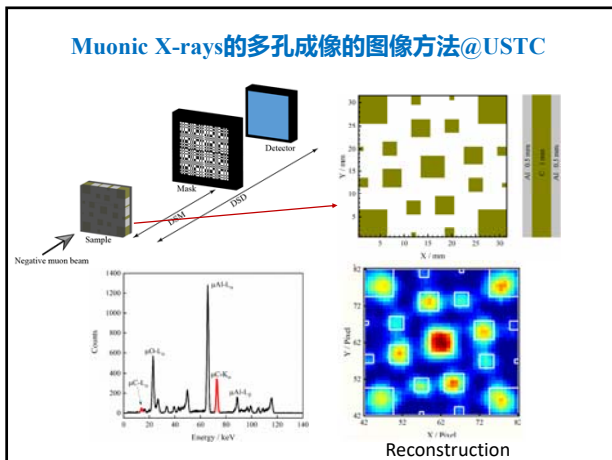
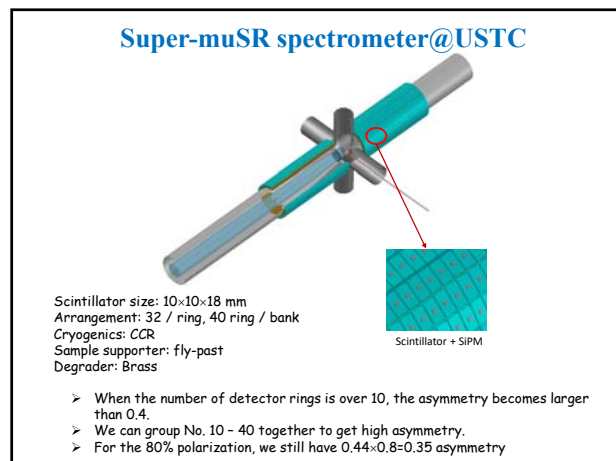
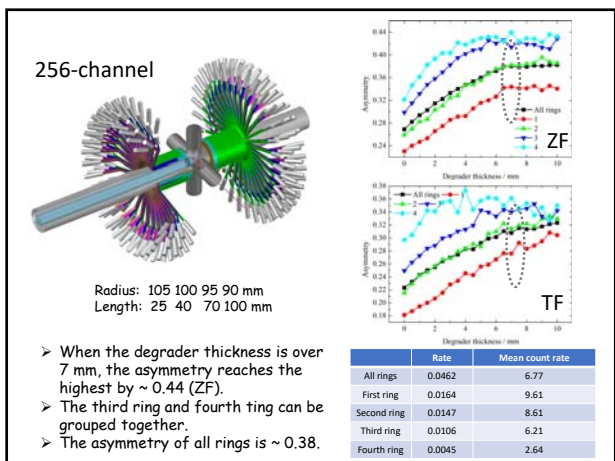
Scientific Reports, 12, 5261(2022)





中国科学技术大学叶邦角

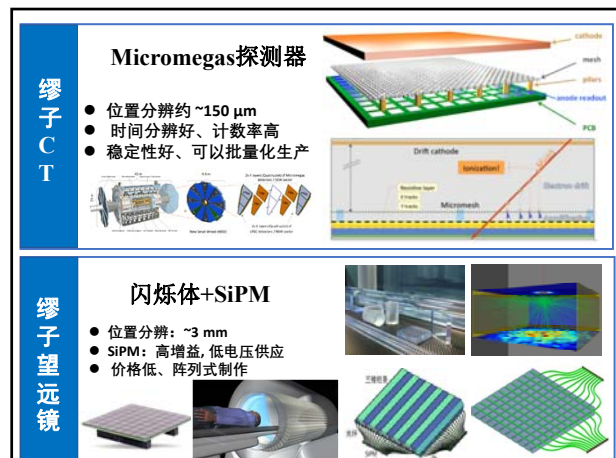




- 国内在宇宙线缪子成像应用方面处于起步阶段
- 2021年7月中国科大召开首届国内缪子 ( $\mu$ ) 成像技术与应用研讨会
 

九院、近物所、原子能院、北大、兰大、安大、华北电力、南华大学和中国科大等10多家科研院所参会
- 宇宙射线缪子成像谱仪研究进展
  - 清华: MRPC阵列, 散射成像
  - 北大: RPC阵列, 散射成像
  - 中国科大: Micromegas和塑闪阵列, 散射和透射成像
  - 兰大: 塑闪阵列, 散射成像
  - 北京卫星环境工程研究所: 塑闪阵列, 透射成像
  - 原子能院: bulk micromegas阵列, 散射成像

中国科学技术大学叶邦角





中国科学技术大学叶邦角